

1 緒言 Dual-Phase 鋼板のマルテンサイトをベイナイトに置換したフェライト-ベイナイト(マルテンサイト)組織冷延鋼板は、 $r$  値、伸びフランジ性、および深絞り成形後の韌性に優れることをみいだした。<sup>1), 2)</sup> 本実験においては、この鋼板  $r$  値および引張特性におよぼすベイナイト(B)およびマルテンサイト(M)の量および大きさの影響について検討を加えた。

2 実験方法 供試材はバッチ焼鈍で製造した  $Ae$  キルド鋼板であり、その化学成分を Table 1 にまとめて示す。この冷延焼鈍板をソルトバスを用い ( $\alpha + \gamma$ ) 域よりの焼入温度、冷却速度を調整することにより、低温変態生成物の種類、量および大きさを制御し、機械的性質におよぼす影響を調べた。実験条件は焼鈍温度は  $750^{\circ}\text{C} \sim 850^{\circ}\text{C}$ 、焼鈍後の冷却は水冷(約  $700^{\circ}\text{C}/\text{s}$ )、油冷(約  $200^{\circ}\text{C}/\text{s}$ )および空冷(約  $10^{\circ}\text{C}/\text{s}$ )である。必要に応じて  $400^{\circ}\text{C}$  等温変態処理も行なった。低温変態生成物量および大きさの定量は光頭組織より行った。引張試験は JIS 13 号 B 試験片を用い Instron 型試験機にて行った。

3 実験結果 (1) 結晶粒径の影響を除去するため、 $800^{\circ}\text{C}$  に加熱後、種々の温度まで空冷し、その後 W.Q. または O.Q. し、B および M 量を変えた本例においても、F + B + M (Triphase) 鋼の  $r$  値および伸びフランジ性 ( $\lambda$ ) は F + M 鋼よりもすぐれている (Fig. 1)。

(2) 代表的 Triphase 鋼および F + M 鋼を焼戻すと、焼戻し温度が高温になるにつれて伸びが改善され、 $r$  値が向上する。両者の  $r$  値の差は  $400^{\circ}\text{C}$  前後から接近するが、 $600^{\circ}\text{C}$  加熱材でも差がある (Fig. 2)。

(3) 同一低温変態生成物量あるいは同一引張強さで比較しても Triphase 鋼の方が F + M 鋼の  $\lambda$  および  $r$  値よりもすぐれている。なお、F + M 鋼の  $r$  値、 $\lambda$  値は高いが、降伏比が 0.7、降伏点伸びが 3 ~ 4 % と大きいのが問題である。

(4) 低温変態生成物の平均径と  $r$  値との関係をみると、Fig. 3 に示すように見かけ上、径が大きくなるにつれて  $r$  値は低下し、同一径で比較すると Triphase 鋼の方が 0.1 以上すぐれている。

参考文献 1) M. SUDO et al : Trans. ISIJ, 21(1981) P 820

2) 須藤, 塚谷, 堀, 柴田 : 鉄と鋼, 67(1981), S 531

Table I Chemical Composition (wt%)

Steel	C	Si	Mn	P	Al
A	0.04	-	0.40	0.085	0.050
B	0.04	0.25	0.40	0.085	0.050
M3	0.05	0.20	0.30	0.047	0.046
M9	0.04	0.20	0.94	0.046	0.037
M15	0.05	0.20	1.47	0.048	0.051

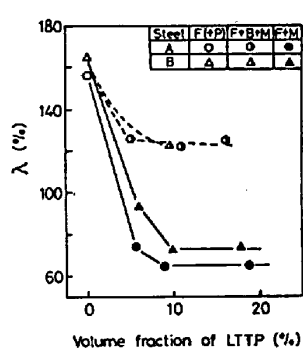


Fig. 1 Effect of volume fraction of bainite and martensite on hole expanding limit ( $\lambda$ )

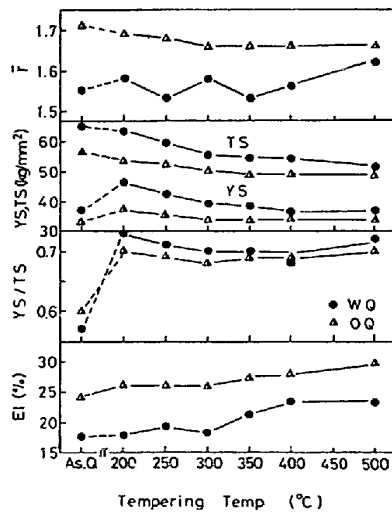


Fig. 2 Effect of tempering temperature on the mechanical properties of F+M (W.Q.) and Triphase (O.Q.) steels

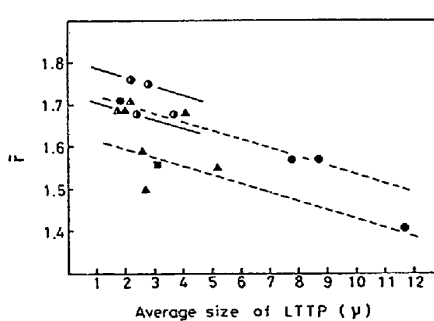


Fig. 3 Relationship between average size of LTTP and the  $r$  value of F+M and Triphase steels.  
Symbols are the same as in Fig. 1